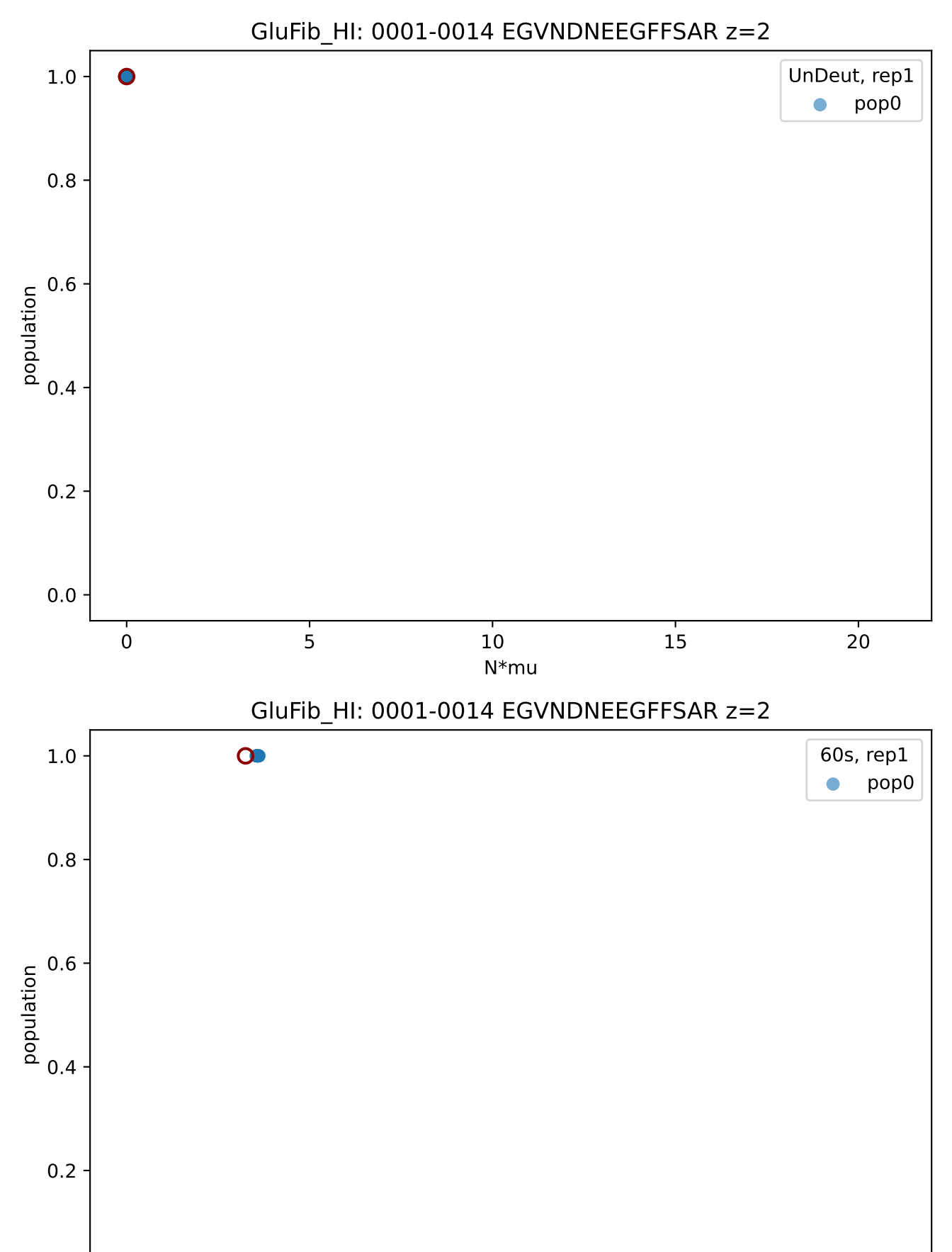
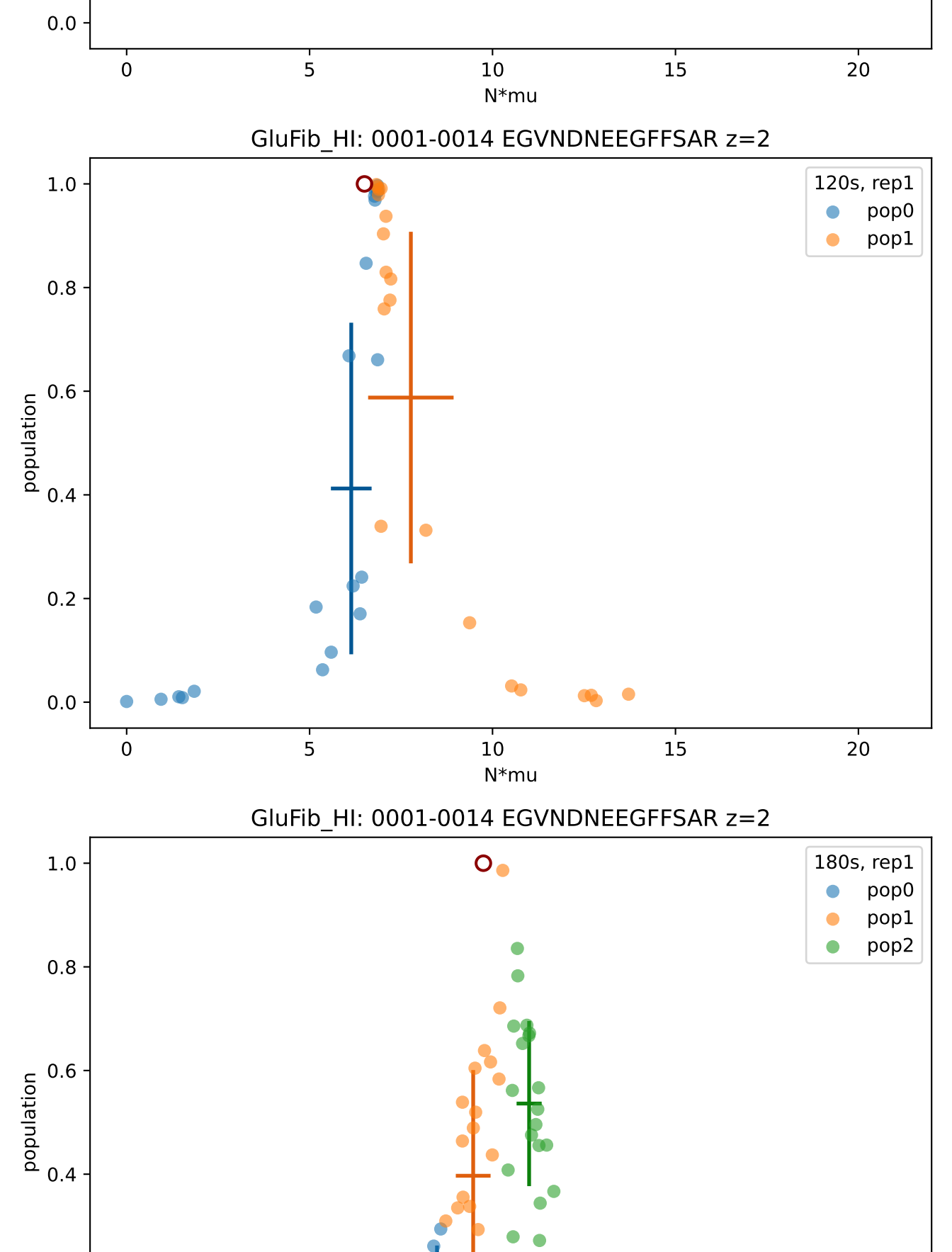


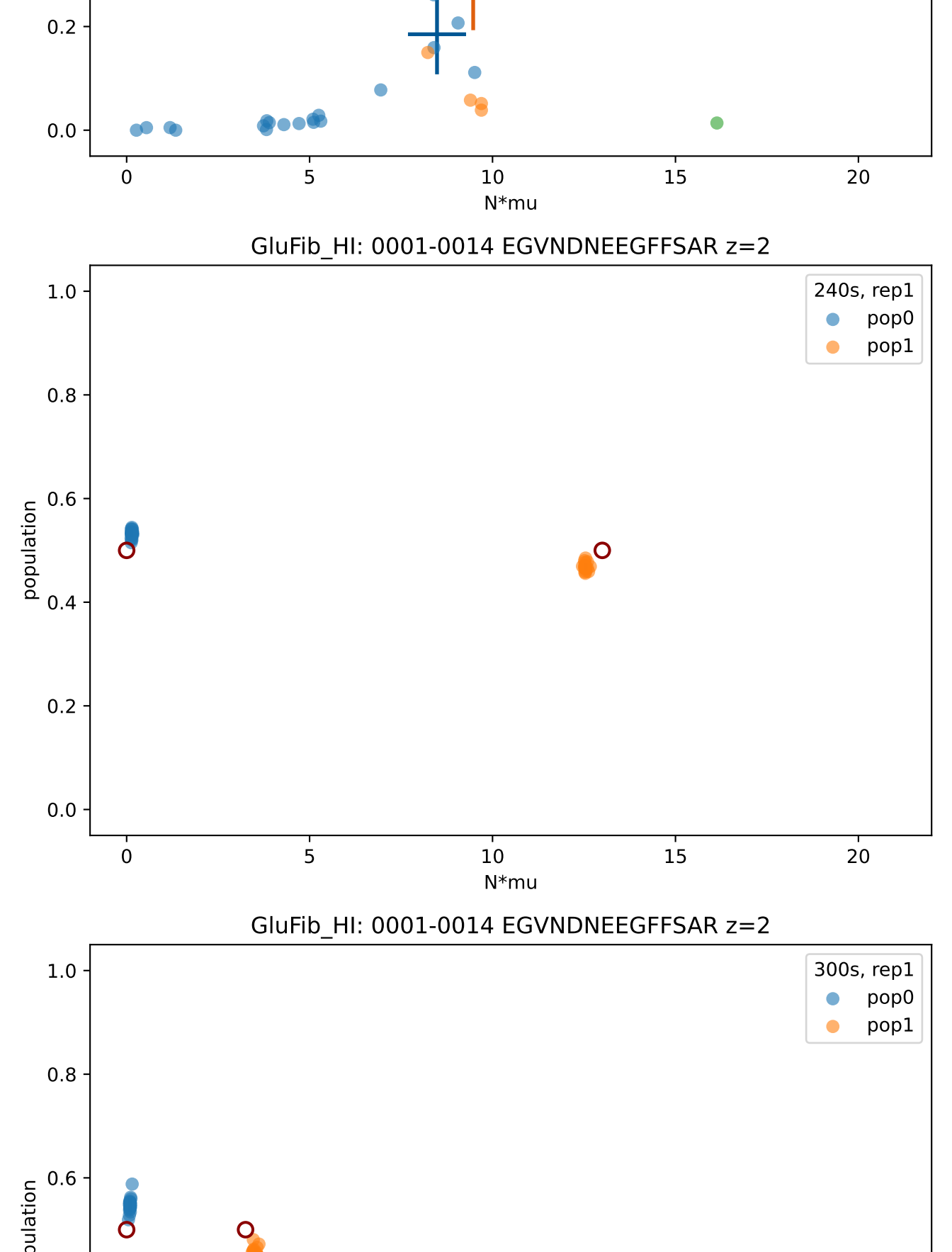
GluFib_HI: 0001-0014 EGVNDNEEGFFSAR z=2



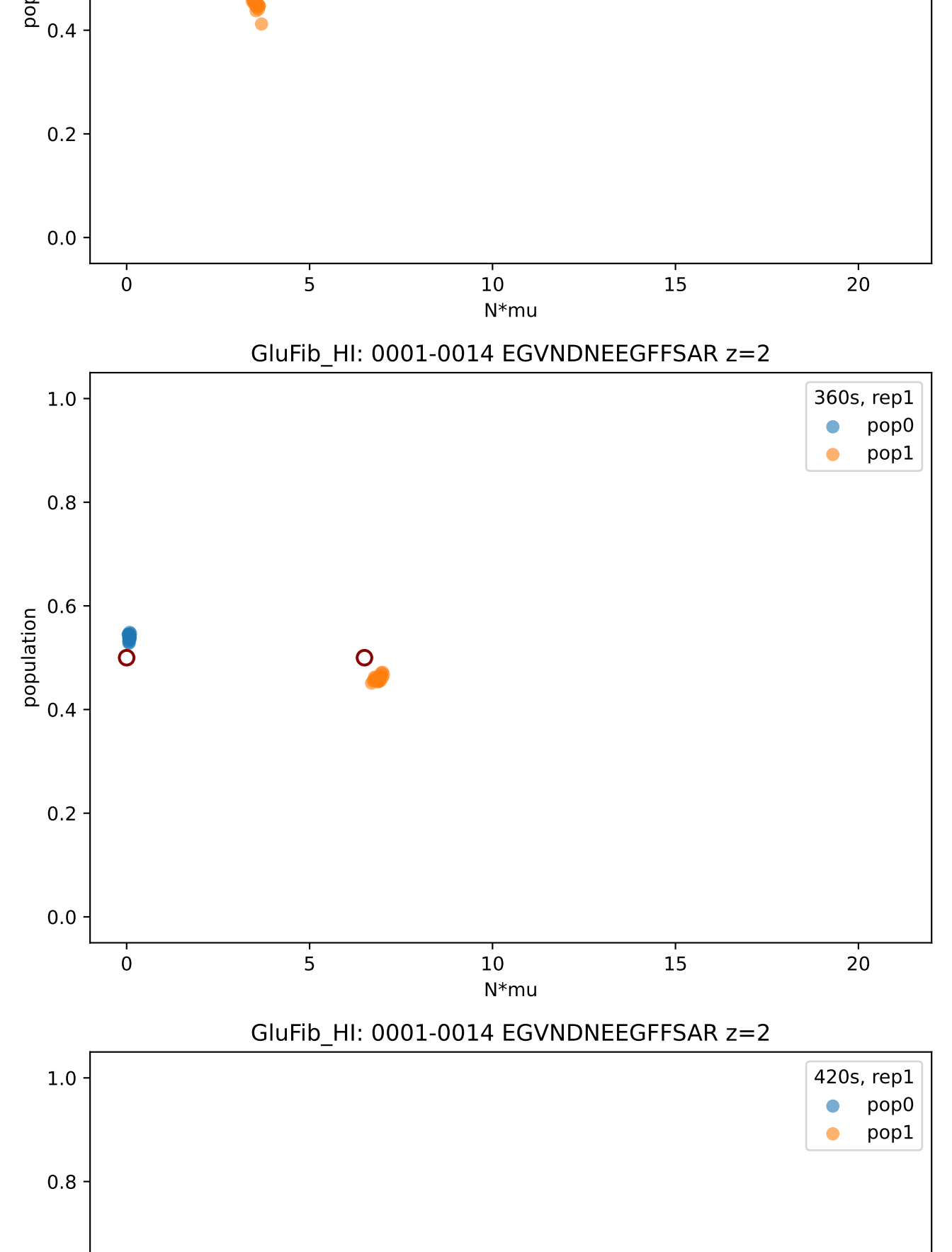
GluFib_HI: 0001-0014 EGVNDNEEGFFSAR z=2



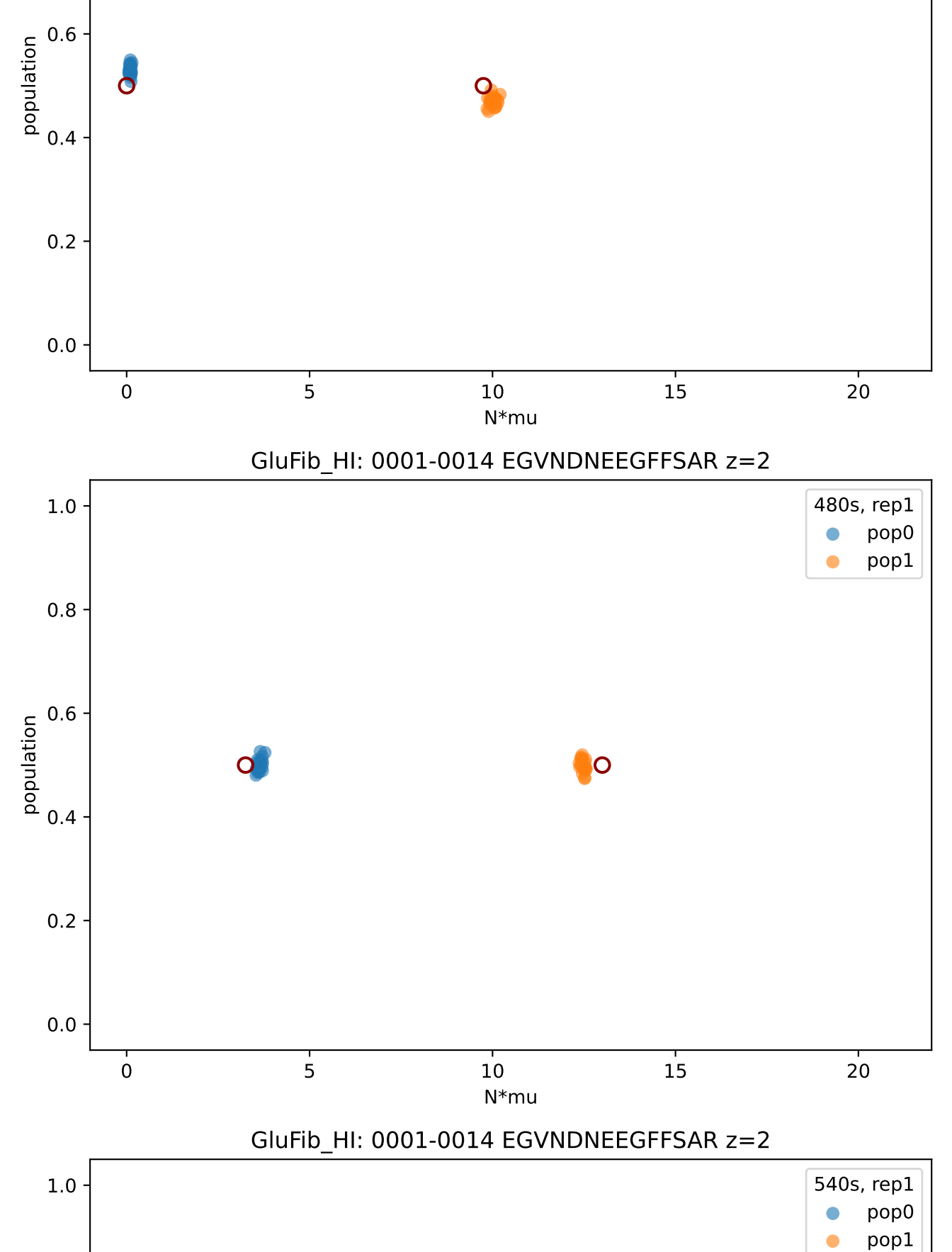
GluFib_HI: 0001-0014 EGVNDNEEGFFSAR z=2



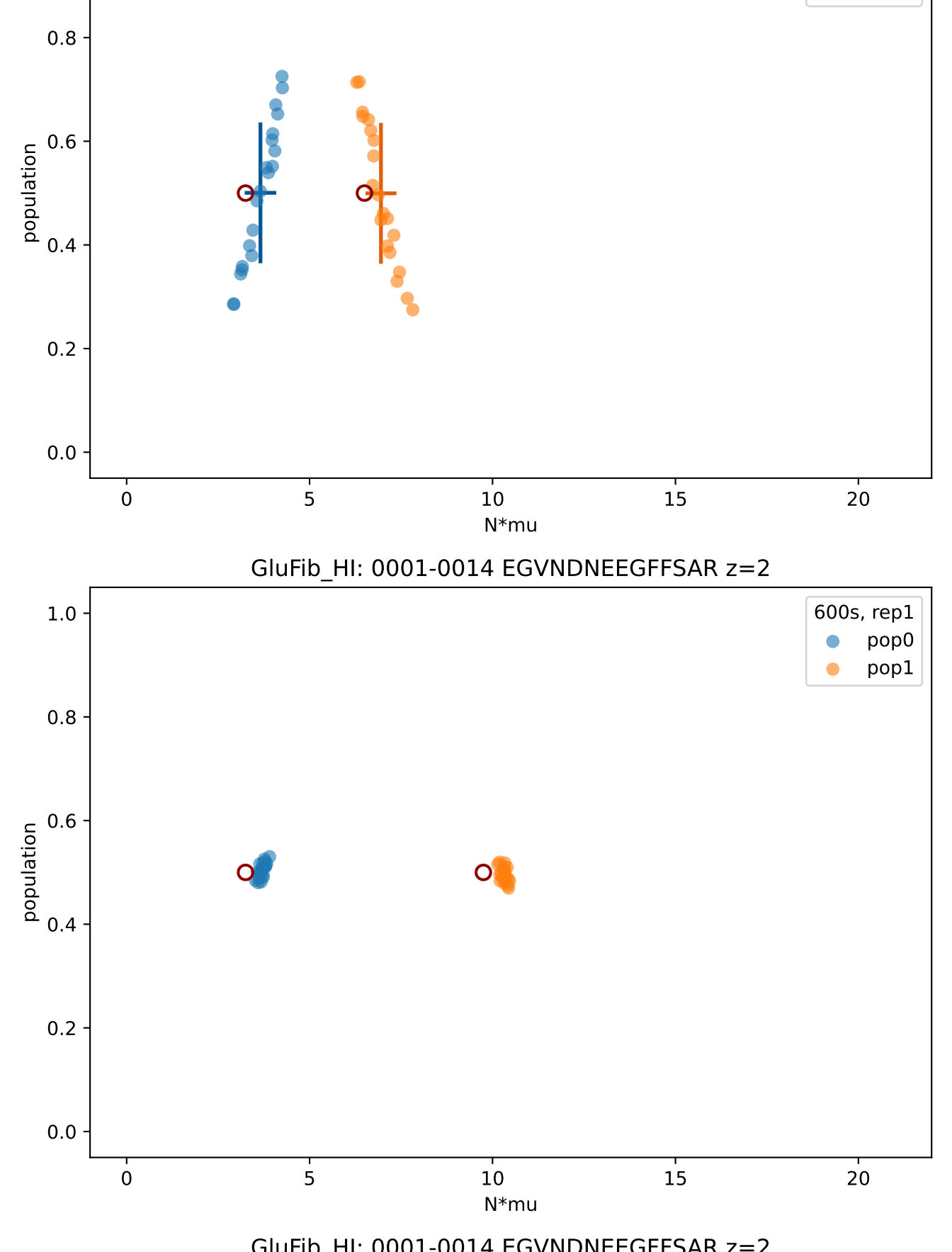
GluFib_HI: 0001-0014 EGVNDNEEGFFSAR z=2



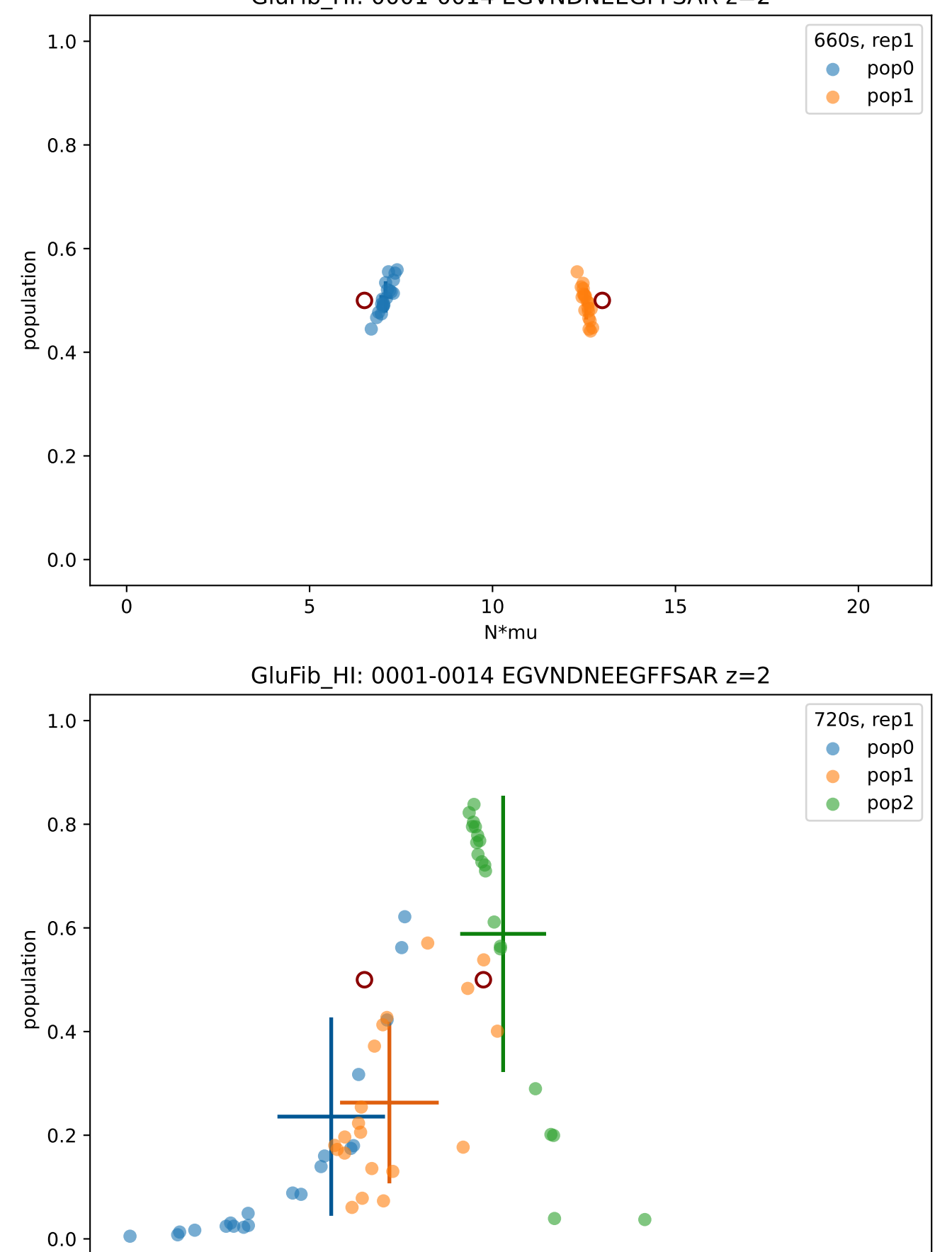
GluFib_HI: 0001-0014 EGVNDNEEGFFSAR z=2



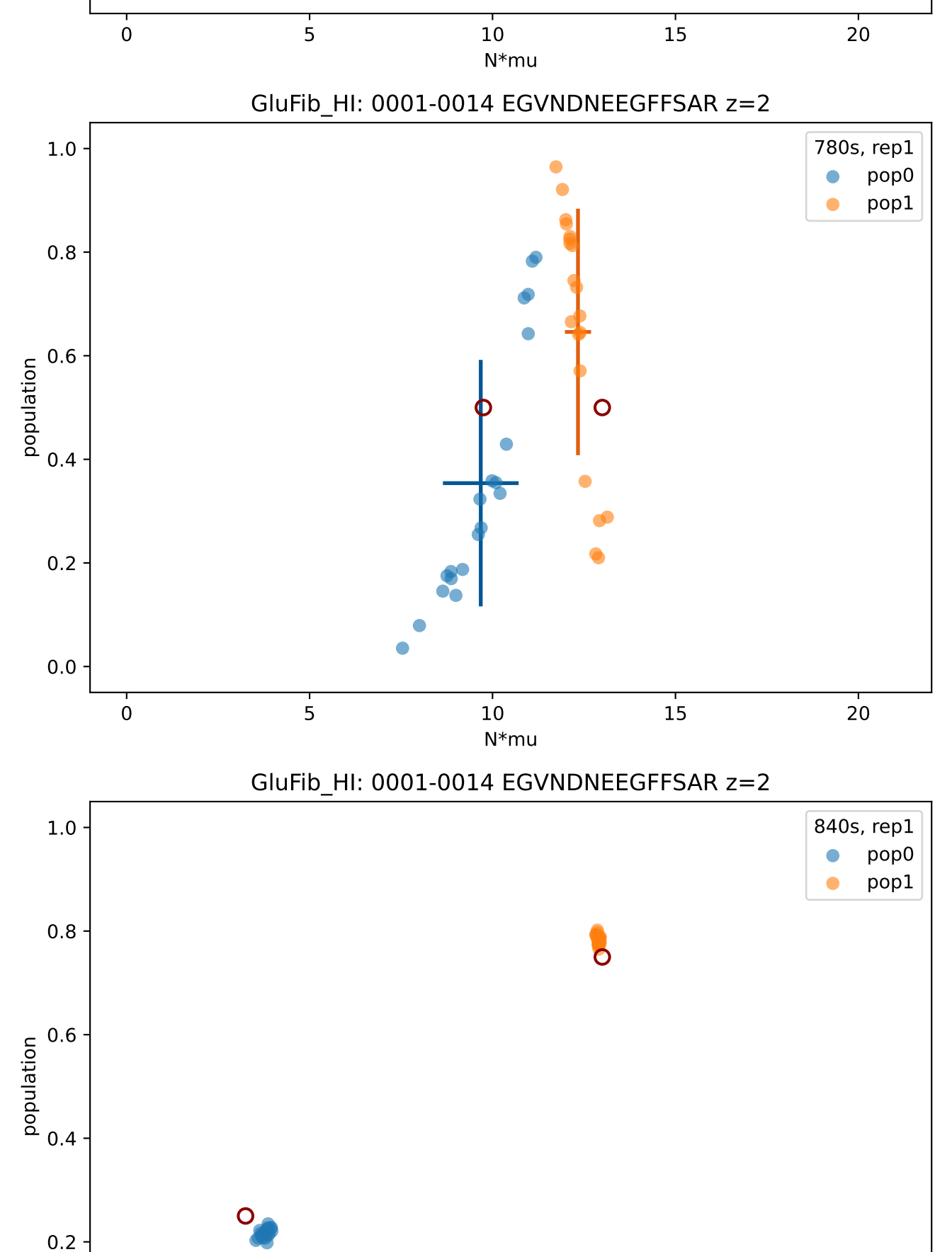
GluFib_HI: 0001-0014 EGVNDNEEGFFSAR z=2



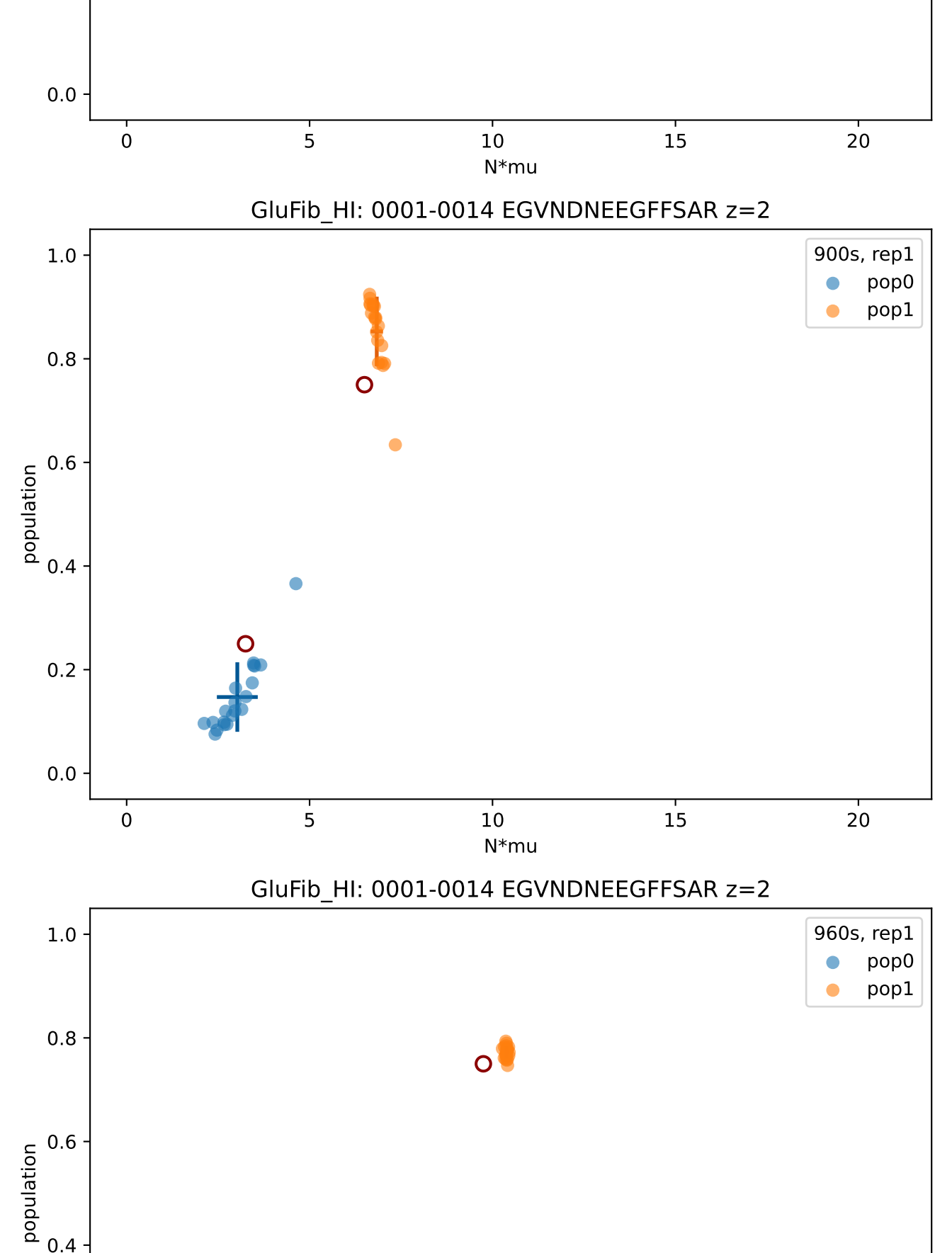
GluFib_HI: 0001-0014 EGVNDNEEGFFSAR z=2



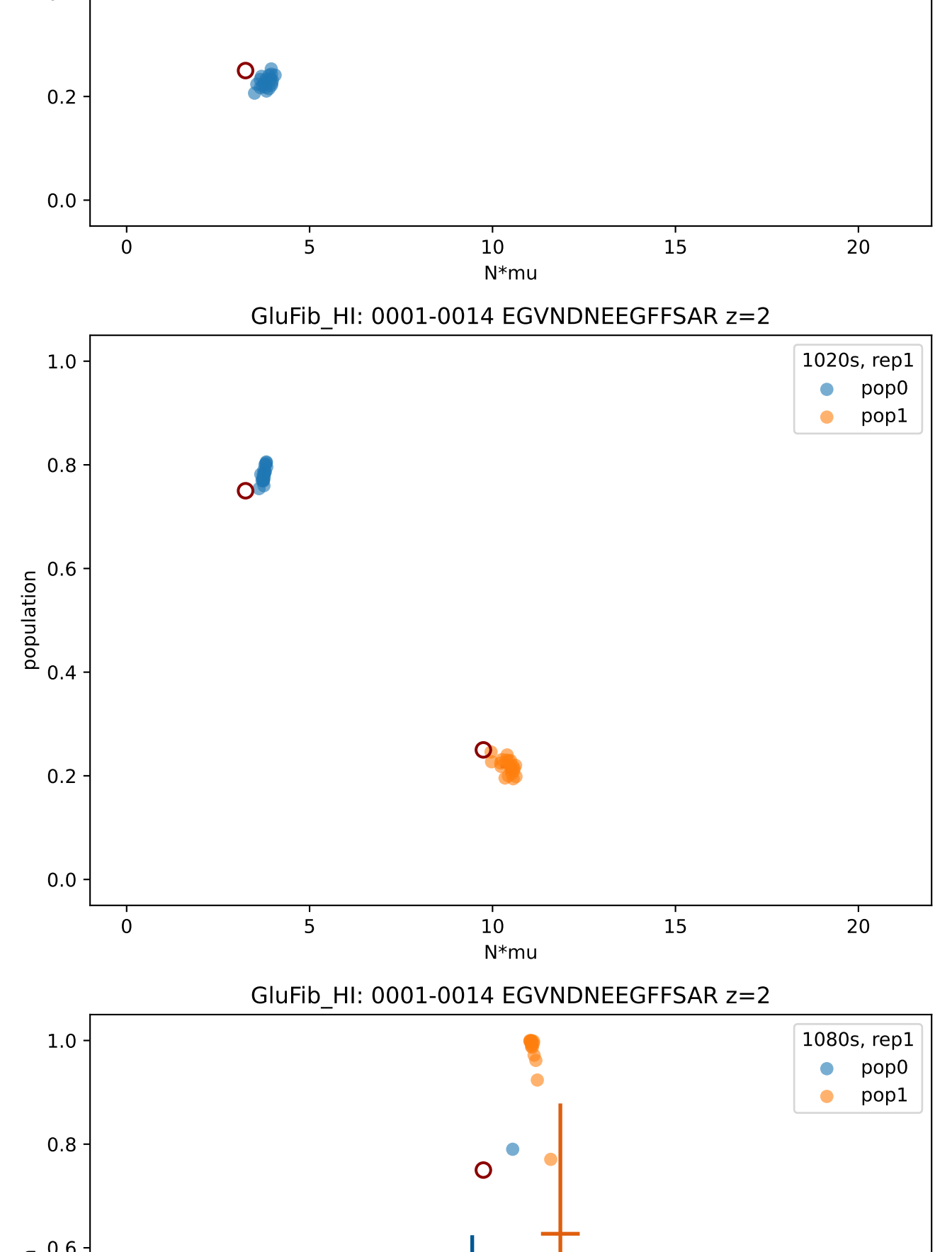
GluFib_HI: 0001-0014 EGVNDNEEGFFSAR z=2



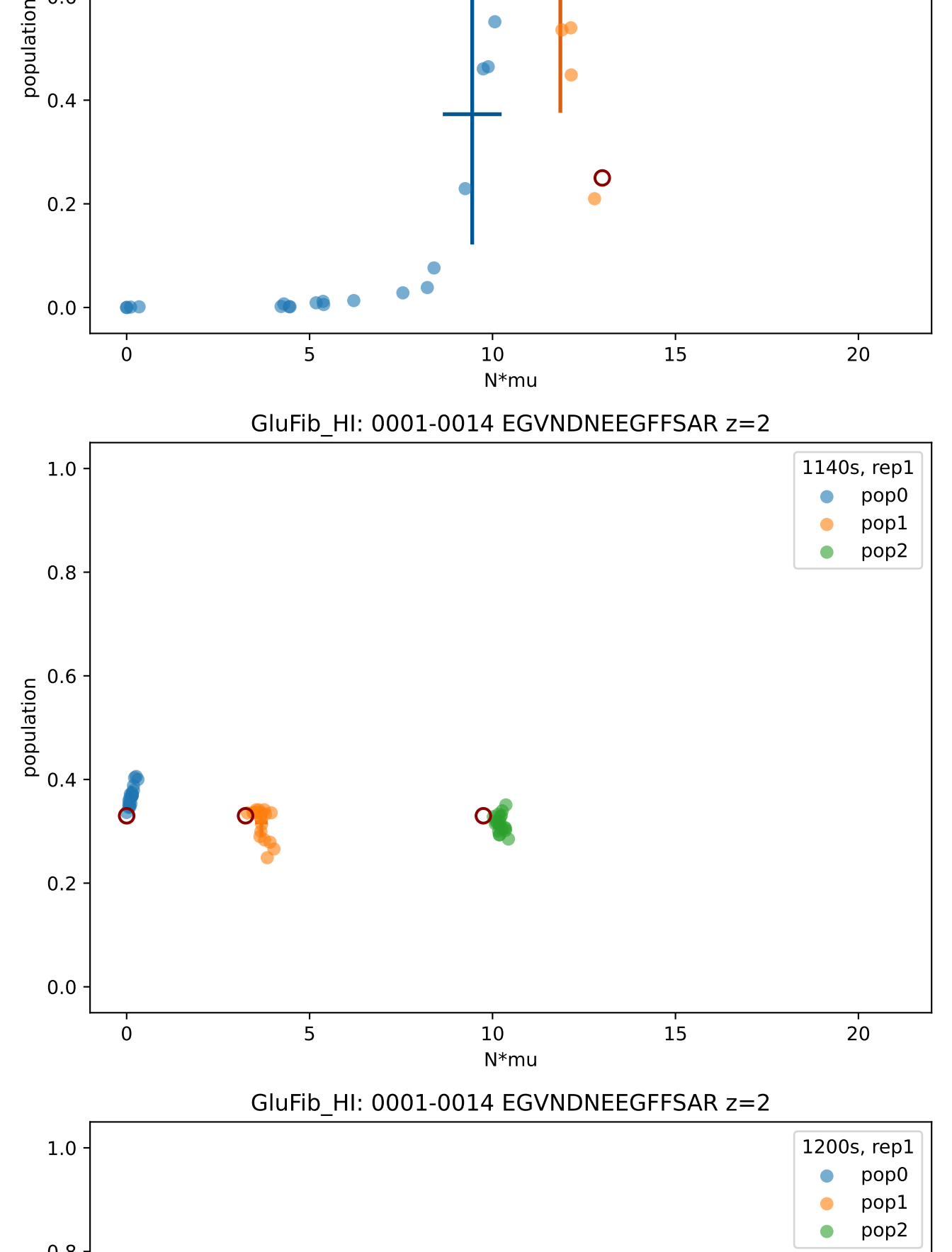
GluFib_HI: 0001-0014 EGVNDNEEGFFSAR z=2



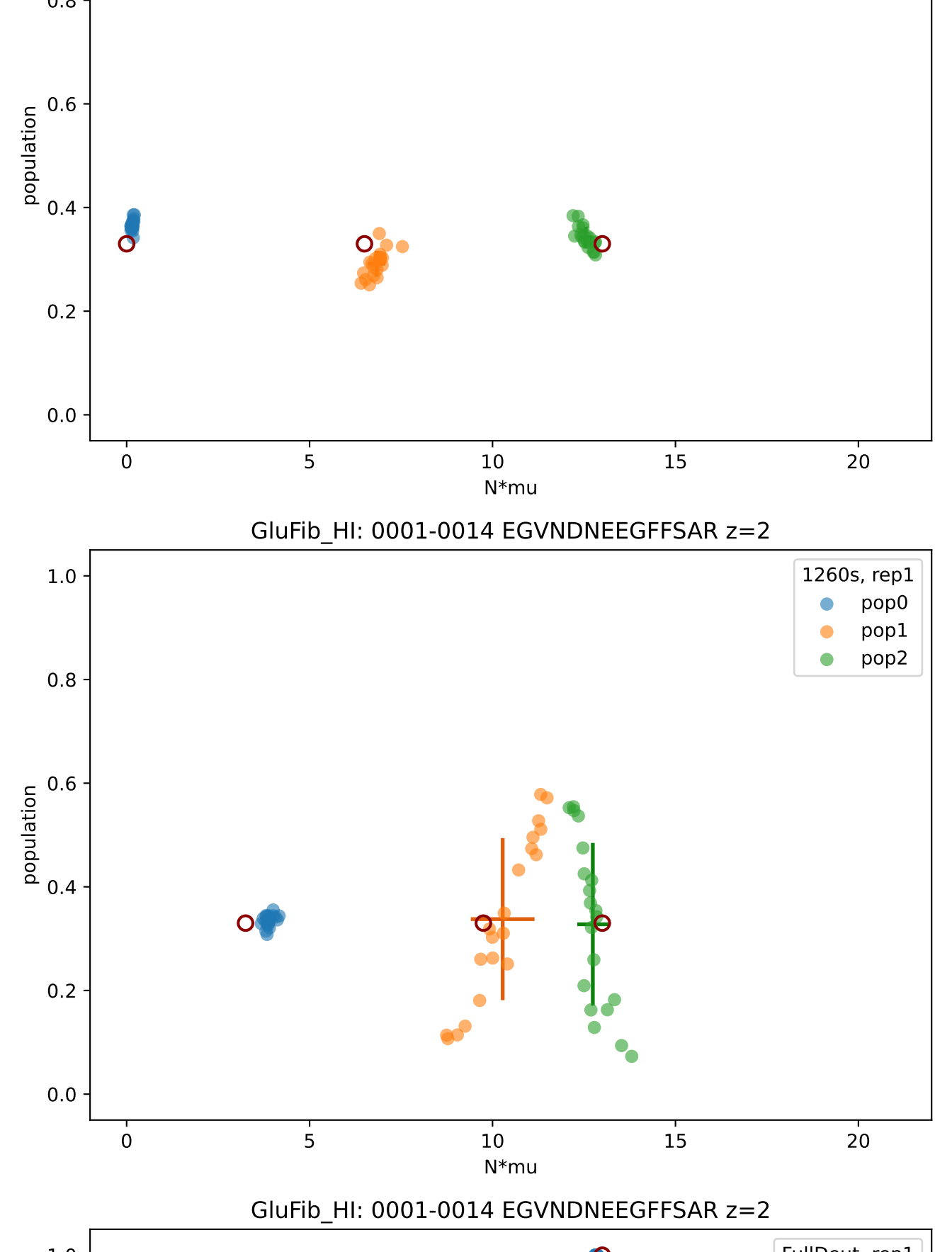
GluFib_HI: 0001-0014 EGVNDNEEGFFSAR z=2



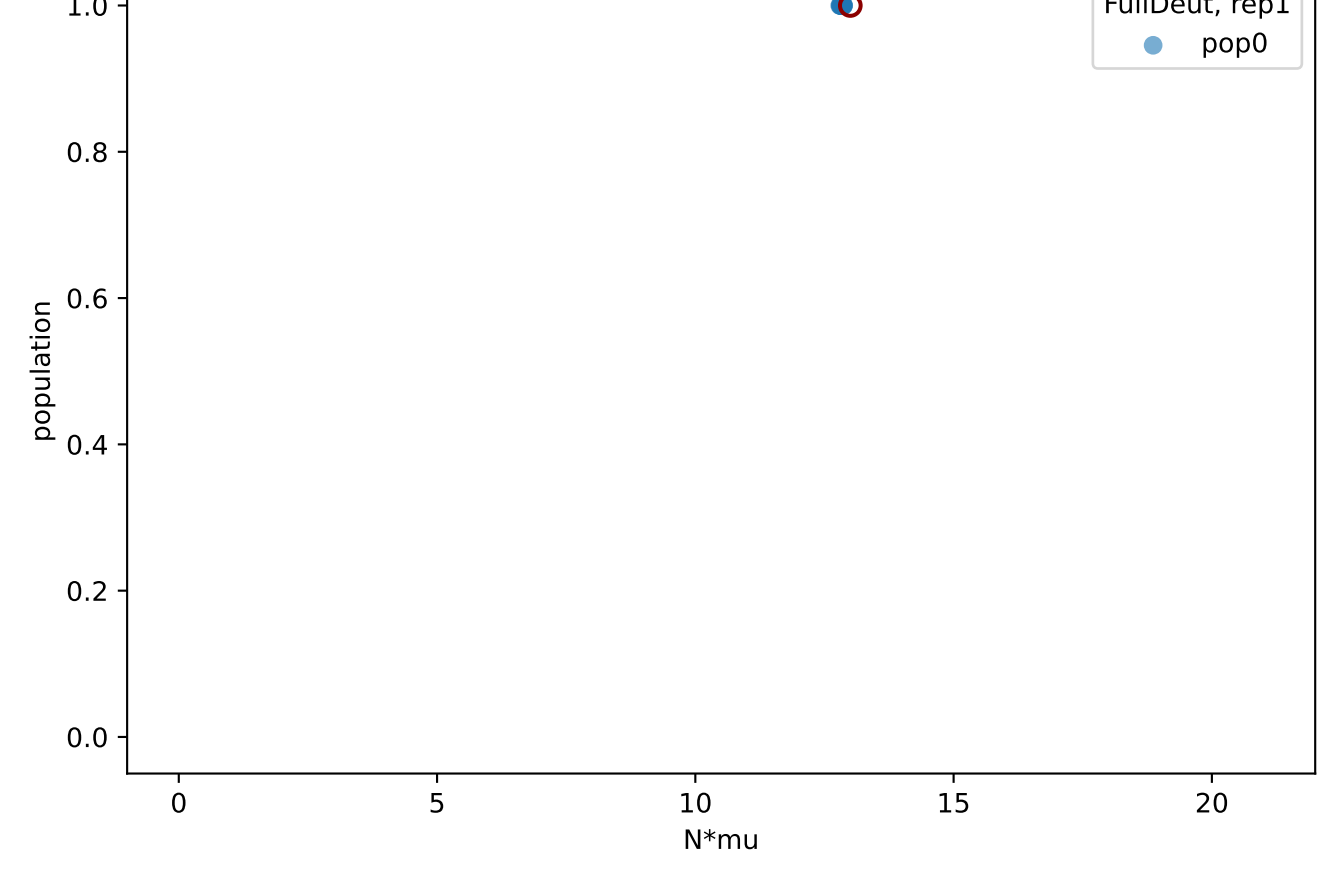
GluFib_HI: 0001-0014 EGVNDNEEGFFSAR z=2



GluFib_HI: 0001-0014 EGVNDNEEGFFSAR z=2



GluFib_HI: 0001-0014 EGVNDNEEGFFSAR z=2



GluFib_HI: 0001-0014 EGVNDNEEGFFSAR z=2

GluFib_HI: 0001-0014 EGVNDNEEGFFSAR z=2

GluFib_HI: 0001-0014 EGVNDNEEGFFSAR z=2

GluFib_HI: 0001-0014 EGVNDNEEGFFSAR z=2

GluFib_HI: 0001-0014 EGVNDNEEGFFSAR z=2

GluFib_HI: 0001-0014 EGVNDNEEGFFSAR z=2

GluFib_HI: 0001-0014 EGVNDNEEGFFSAR z=2

GluFib_HI: 0001-0014 EGVNDNEEGFFSAR z=2

GluFib_HI: 0001-0014 EGVNDNEEGFFSAR z=2

GluFib_HI: 0001-0014 EGVNDNEEGFFSAR z=2

